

砂の K_0 値の応力経路依存性について

山口県庁 正員 ○日高堅二
 京都大学 学生員 山下徳次郎
 京都大学 学生員 尾上一馬
 京都大学 正員 深川良一

1. はじめに

砂質土の静止土圧係数 (K_0 値) の推定を目的として、飽和砂に対し K_0 圧密試験を行った。この結果 K_0 値は従来考へられてきた値よりも大きく、平均主応力 P に依存することが確認された。実験にあたりて、排水量補正、端面摩擦、ひずみの計算に用いる基準状態の取り方、計測時間 T など種々の要因の測定に及ぼす影響を慎重に考慮した。

2. 実験方法

実験に用いた装置は G E O N O R 型三軸装置で通常用いられているタイプのものである。計測器機の精度を表-1 に示す。

試料は豊浦標準砂を用いた。比重 = 2.64、 $D_{10} = 0.16 \text{ mm}$ 、 $D_{60} = 0.21 \text{ mm}$ である。

予め炉乾燥した標準砂を炉乾重量で 80,000g 量り、それをモールド内水面上に 3 ベル (一定の距離を保ちながら少しづつ) 落下させてモールドに詰めた。三層に分け、各層につきモールド側面を鋼棒で 20 回タンポンングすることによって締め固めた。セット完了時の供試体諸量は、供試体径 3.55 cm、供試体長 $5.20 \pm 0.05 \text{ cm}$ 、間げき比 0.699 ± 0.016 である。

排水量補正是実験結果に重大な影響を及ぼすので特に注意を払い、メンブレンミスフィット補正と、実験ではポーラスストーンのかわりにろ紙を用いたので、ろ紙よりの排水量についても補正を行った。また端面摩擦を切るためにテフロンシートと薄ゴム膜を用いた。ひずみの計算に用いる基準状態として、通常行かれる低拘束圧の等方圧密は行わず、排水状態でセル内に数分放置した後を行った。

K_0 圧密試験に先立って行つた等方圧密試験の結果、試料が圧密後 100 分前後から顯著に吸水現象を示したので、 K_0 圧密試験に要する時間と、また載荷 1 段階の収束に要する時間とを考慮して 1 段階の計測時間を 5 分とした。

3. K_0 値の推定

K_0 圧密試験の結果を σ_3 ~ K_0 関係で整理したものが図-1 である。実験は 2 回行つたが結果はほとんど同一の曲線上にあることを示している。 $\sigma_3 > 50 \text{ kN/m}^2$ では良好な直線性を示し、このときの直線の勾配は 0.58 である。

さらに、結果を主应力比 K ~ 平均主应力 P 関係で整理したもののが図-2 である。図-1 の σ_3 ~ K_0 の直線関係より、 K ~ P 関係は双曲線で近似でき、 $K = 0.58$ に漸近していくことがわかる。

表-1. 計測器機の精度

測定量	計測器機	精度
軸差応力	prooving ring	0.084 kg
垂直変位	dial gauge	0.001 mm
排水量	burette	0.005 cm ³
側圧	pressure gauge	0.002 kg/cm ²

さて従来、Jaky¹⁾、Brooker and Ireland²⁾、山口³⁾、山内・安原⁴⁾、落合ら⁵⁾によつて K_0 値の算定式が提案されてゐる。初期間げき比を K_0 压密試験の場合にそろえて行つた排水せん断試験によつて有効内部摩擦角 ϕ_i を求め、これららの算定式を用いて計算した K_0 値は、概ね 0.3 から 0.4 の間にあり、本実験より求めた K_0 値とはかなりの相違を示す。

El-Sohby⁶⁾、輕部・古田⁷⁾は異方圧密試験 ($\alpha_1 = \text{const.}$) により砂の K_0 値を推定してゐるが、排水量補正を行つておらず、得られた K_0 値はひづれも上述の算定式を満足するレベルに落ち着いてゐる。一方、側方ひづれを実測して K_0 状態を維持する実験も数多く行かれてゐるが、土岐ら⁸⁾の例を除けばこの方法より推定される K_0 値も上述の算定式をほぼ満足するようである。

4.まとめ

K_0 圧密試験によつて、 K_0 値は平均主応力 P に依存して変化し、 P の増加に連れても値に収束する傾向を示すこと事が明らかにわかつた。その収束値は本実験の場合 0.58 であり、従来考えられてきた値よりもかなり大きい。

K_0 圧密試験より K_0 値を推定する場合、ひづみの計算に用ひる基準状態の取り方、排水量補正、端面摩擦、計測時間、scale effect などの要因に十分な注意を払わねばならない。今後これららの要因の K_0 値の推定に与える影響について実験的に明らかにしていくつもりである。

5.参考文献

- 1) Jaky (1944), "Talajmechanika", J. Hungarian Arch. & Engs., Budapest, pp 355~358.
- 2) Brooker and Ireland (1965), Canadian Geotechnical Journal, Vol.12, No.1, pp 1~15
- 3) 山口 (1972), 第27回土木学会年次学術講演会講演集, 第Ⅳ部, pp 109~110
- 4) 山内・安原 (1974), 土質工学会論文報告集, Vol.14, No.2, pp 113~118
- 5) 落合 (1976), 土質工学会論文報告集, Vol.16, No.2, pp 105~111
- 6) El-Sohby (1961), ISMFE, MEXICO, pp 111~119
- 7) 輕部・古田 (1976), 土木学会第31回講演概要集, 第Ⅲ部, pp 58~59
- 8) 土岐・三浦・鎌田 (1978), 第13回土質工学研究発表会, pp 489~492.

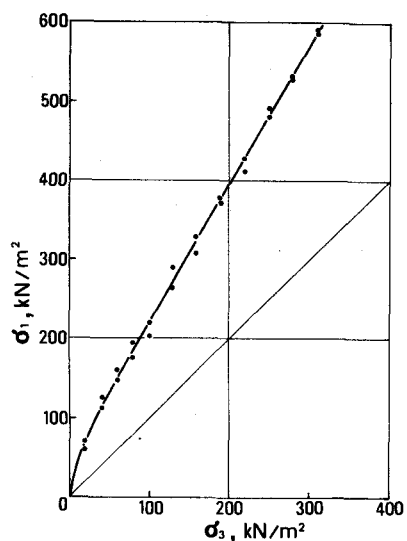


図-1. K_0 圧密試験における
 σ_i ~ σ_3 関係

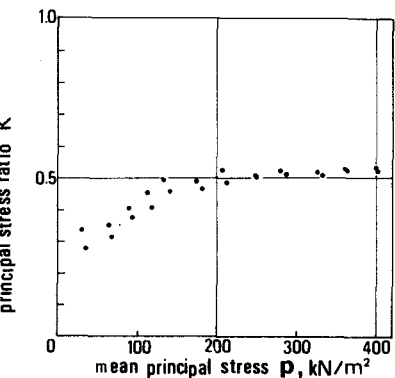


図-2. K_0 圧密試験における
 K ~ P 関係